

IN THE UNITED STATES PATENT AND TRADEMARK OFFICE

Express Mail No.: EL 990505168 US

In re application of: FATTOUCH et al.

Group No.:

Serial No.: 0 /

Filed: Herewith

Examiner:

**For: METHOD OF CALCULATING AND DISPLAYING MUTUAL INTERFERENCE IN THE
DOWN DIRECTION IN A CELLULAR RADIOTELEPHONE NETWORK WITH A W-CDMA
TYPE ACCESS**

Commissioner for Patents

P.O. Box 1450

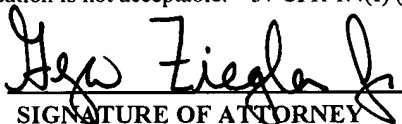
Alexandria, VA 22313-1450

TRANSMITTAL OF CERTIFIED COPY

Attached please find the certified copy of the foreign application from which priority is claimed for this case:

Country : France
Application Number : 0304005
Filing Date : April 1, 2003

WARNING: "When a document that is required by statute to be certified must be filed, a copy, including a photocopy or facsimile transmission of the certification is not acceptable." 37 CFR 1.4(f) (emphasis added.)



SIGNATURE OF ATTORNEY

Reg. No.: 44,004

Geza C. Ziegler, Jr.

Type or print name of attorney

Tel. No.: (203) 259-1800

Perman & Green, LLP

Customer No.: 2512

P.O. Address

425 Post Road, Fairfield, CT 06824

NOTE: The claim to priority need be in no special form and may be made by the attorney or agent if the foreign application is referred to in the oath or declaration as required by § 1.63.

(Transmittal of Certified Copy [5-4])

THIS PAGE BLANK (USPTO)



BREVET D'INVENTION

CERTIFICAT D'UTILITÉ - CERTIFICAT D'ADDITION

COPIE OFFICIELLE

Le Directeur général de l'Institut national de la propriété industrielle certifie que le document ci-annexé est la copie certifiée conforme d'une demande de titre de propriété industrielle déposée à l'Institut.

Fait à Paris, le 08 MARS 2004

Pour le Directeur général de l'Institut
national de la propriété industrielle
Le Chef du Département des brevets

Martine PLANCHE

INSTITUT
NATIONAL DE
LA PROPRIÉTÉ
INDUSTRIELLE

SIEGE
26 bis, rue de Saint Petersburg
75800 PARIS cedex 08
Téléphone : 33 (0)1 53 04 53 04
Télécopie : 33 (0)1 53 04 45 23
www.inpi.fr

THIS PAGE BLANK (USPTO)



26 bis, rue de Saint Pétersbourg
75800 Paris Cedex 08
Téléphone : 01 53 04 53 04 Télécopie : 01 42 94 86 54

BREVET D'INVENTION CERTIFICAT D'UTILITÉ

Code de la propriété intellectuelle - Livre VI



REQUÊTE EN DÉLIVRANCE 1/2

Cet imprimé est à remplir lisiblement à l'encre noire

DB 540 W / 260899

REMISE DES COPIES DATE 1 AVRIL 2003 LIEU 75 INPI PARIS N° D'ENREGISTREMENT NATIONAL ATTRIBUÉ PAR L'INPI DATE DE DÉPÔT ATTRIBUÉE PAR L'INPI - 1 AVR. 2003 0304005		1 NOM ET ADRESSE DU DEMANDEUR OU DU MANDATAIRE À QUI LA CORRESPONDANCE DOIT ÊTRE ADRESSÉE ■ CABINET DEBAY 126 ELYSEE 2 78170 LA CELLE SAINT CLOUD	
Vos références pour ce dossier (facultatif) CEGETEL/19/FR			
Confirmation d'un dépôt par télécopie <input type="checkbox"/> N° attribué par l'INPI à la télécopie			
2 NATURE DE LA DEMANDE		Cochez l'une des 4 cases suivantes	
Demande de brevet		<input checked="" type="checkbox"/>	
Demande de certificat d'utilité		<input type="checkbox"/>	
Demande divisionnaire		<input type="checkbox"/>	
Demande de brevet initiale ou demande de certificat d'utilité initiale		N°	Date <input type="text"/> / <input type="text"/> / <input type="text"/>
		N°	Date <input type="text"/> / <input type="text"/> / <input type="text"/>
Transformation d'une demande de brevet européen		<input type="checkbox"/>	Date <input type="text"/> / <input type="text"/> / <input type="text"/>
Demande de brevet initiale		N°	Date <input type="text"/> / <input type="text"/> / <input type="text"/>
3 TITRE DE L'INVENTION (200 caractères ou espaces maximum) Procédé de calcul et de visualisation des interférences mutuelles dans le sens descendant dans un réseau de radiotéléphonie cellulaire à accès de type W-CDMA			
4 DÉCLARATION DE PRIORITÉ OU REQUÊTE DU BÉNÉFICE DE LA DATE DE DÉPÔT D'UNE DEMANDE ANTÉRIEURE FRANÇAISE		Pays ou organisation Date <input type="text"/> / <input type="text"/> / <input type="text"/> N° Pays ou organisation Date <input type="text"/> / <input type="text"/> / <input type="text"/> N° Pays ou organisation Date <input type="text"/> / <input type="text"/> / <input type="text"/> N° <input type="checkbox"/> S'il y a d'autres priorités, cochez la case et utilisez l'imprimé «Suite»	
5 DEMANDEUR		<input type="checkbox"/> S'il y a d'autres demandeurs, cochez la case et utilisez l'imprimé «Suite»	
Nom ou dénomination sociale		SOCIETE FRANCAISE DU RADIOTELEPHONE (SFR)	
Prénoms			
Forme juridique		S.A.	
N° SIREN		3 . 4 . 3 . 9 . 6 . 0 . 7 . 2 . 0	
Code APE-NAF			
Adresse	Rue	Tour Séquoia 1, Place Carpeaux	
	Code postal et ville	92915 PARIS LA DEFENSE	
Pays		France	
Nationalité		Française	
N° de téléphone (facultatif)			
N° de télécopie (facultatif)			
Adresse électronique (facultatif)			



BREVET D'INVENTION CERTIFICAT D'UTILITÉ

REQUÊTE EN DÉLIVRANCE 2/2

REMISE DES ÉLÉMENTS DATE 1 AVRIL 2003 LIEU 75 INPI PARIS N° D'ENREGISTREMENT 0304005 NATIONAL ATTRIBUÉ PAR L'INPI		Réservé à l'INPI	
Vos références pour ce dossier : <i>(facultatif)</i>		CEGETEL/19/FR	
6 MANDATAIRE			
Nom		DEBAY	
Prénom		Yves	
Cabinet ou Société		CABINET DEBAY	
N° de pouvoir permanent et/ou de lien contractuel		CPI 92-1066	
Adresse	Rue	126 ELYSEE 2	
	Code postal et ville	78170	LA CELLE SAINT CLOUD
N° de téléphone <i>(facultatif)</i>		01.39.18.46.24	
N° de télécopie <i>(facultatif)</i>		01.39.18.67.08	
Adresse électronique <i>(facultatif)</i>		Cab.Debay@wanadoo.fr	
7 INVENTEUR (S)			
Les inventeurs sont les demandeurs		<input type="checkbox"/> Oui <input checked="" type="checkbox"/> Non Dans ce cas fournir une désignation d'inventeur(s) séparée	
8 RAPPORT DE RECHERCHE		Uniquement pour une demande de brevet (y compris division et transformation)	
Établissement immédiat ou établissement différé		<input checked="" type="checkbox"/> <input type="checkbox"/>	
Paiement échelonné de la redevance		Paiement en trois versements, uniquement pour les personnes physiques <input type="checkbox"/> Oui <input type="checkbox"/> Non	
9 RÉDUCTION DU TAUX DES REDEVANCES		Uniquement pour les personnes physiques <input type="checkbox"/> Requête pour la première fois pour cette invention <i>(joindre un avis de non-imposition)</i> <input type="checkbox"/> Requête antérieurement à ce dépôt <i>(joindre une copie de la décision d'admission pour cette invention ou indiquer sa référence):</i>	
Si vous avez utilisé l'imprimé «Suite», indiquez le nombre de pages jointes			
10 SIGNATURE DU DEMANDEUR OU DU MANDATAIRE (Nom et qualité du signataire) Y. DEBAY Mandataire (CPI 92-1066)		VISA DE LA PRÉFECTURE OU DE L'INPI L. MARIELLO	

La loi n°78-17 du 6 janvier 1978 relative à l'informatique, aux fichiers et aux libertés s'applique aux réponses faites à ce formulaire. Elle garantit un droit d'accès et de rectification pour les données vous concernant auprès de l'INPI.

Procédé de calcul et de visualisation des interférences mutuelles dans le sens descendant dans un réseau de radiotéléphonie cellulaire à accès de type W-CDMA

La présente invention concerne le domaine des systèmes de communication de radiotéléphonie mobile. La présente invention concerne plus particulièrement, dans le cadre d'une planification et optimisation d'un réseau de radiotéléphonie cellulaire dont l'interface radio fonctionne suivant un protocole de type W-CDMA (accès multiple à répartition des codes à bande élargie), un procédé permettant de calculer et de visualiser les interférences générées par une cellule ou un groupe de cellules dans le sens descendant. L'invention concerne également un système pour la mise en œuvre du procédé.

Un réseau radio de type UMTS (système de communication universel avec les mobiles) se distingue notamment du système global avec les mobiles (GSM) par une nouvelle technique d'accès multiple à répartition des codes à bande élargie (AMRC à bande élargie ou W-CDMA). La technique d'accès multiple adoptée pour l'interface radio entre l'équipement d'utilisateur et le Node B constitue un des aspects essentiels des réseaux cellulaires. Le W-CDMA (Wideband Code Distributed Multiple Access) a été choisi en raison des contraintes propres à l'interface radio UMTS : débits variables, qualité de service (QoS) variable, etc. Dans cette technique, plus le nombre de mobiles augmente dans la cellule, plus le niveau de brouillage est élevé. Le W-CDMA est donc un système limité par le bruit. Ce système requiert dès lors un contrôle de puissance.

Contrairement au GSM, chaque station émettrice n'a pas de fréquence propre et la réduction des interférences ne peut être réalisée que par ajustement de la puissance par la station. Pour optimiser ce contrôle de puissance, il est nécessaire d'établir un modèle de prévision des interférences.

Dans l'art antérieur, la méthode dite de Monte Carlo et des méthodes dérivées ont été utilisées pour simuler les interférences. Ce type de méthode

consiste à disposer des mobiles sur une carte de manière statistique et ensuite simuler un contrôle de puissance. Les interférences dans le sens montant, c'est-à-dire générées par les mobiles entre eux positionnés sur la carte, peuvent alors être calculées. Toutefois, l'obtention d'un positionnement statistique des mobiles est particulièrement fastidieux car cela nécessite un certain nombre de tirages (tirages de Monte Carlo) et les temps de calcul sont particulièrement longs. La méthode de Monte Carlo peut aussi être utilisée dans le sens descendant, c'est-à-dire des stations vers les mobiles.

Cette méthode peut être adoptée pour une localisation très précise mais peut difficilement être utilisée pour un vaste réseau. De plus, elle ne permet pas d'identifier et d'isoler, dans un groupe de cellules, les cellules les plus interférentes.

Il existe par conséquent un besoin d'une méthode simple, rapide, moins théorique et plus opérationnelle, qui permet d'isoler et d'identifier les cellules interférentes et interférées.

Un objet de la présente invention est de supprimer un ou plusieurs des inconvénients de l'art antérieur en proposant une méthode permettant de localiser rapidement les problèmes de fonctionnement dus aux interférences dans le sens descendant.

Le réseau UMTS permet la transmission à débit élevé de fichiers volumineux vers les mobiles, en réponse à des requêtes se présentant sous la forme de petits paquets envoyés dans le sens montant. Il en résulte que le sens descendant est toujours beaucoup plus chargé que le sens montant. Les interférences sont donc plus particulièrement fonction de la puissance fournie dans le sens descendant.

Un autre objet de la présente invention est de calculer et visualiser pour un groupe de cellules dites interférentes, les interférences engendrées sur un autre groupe de cellules, en tenant compte du service, du trafic, de la charge et de la puissance dans le sens descendant de chacune des cellules.

A cet effet, l'invention concerne un procédé de calcul et de visualisation des interférences mutuelles dans le sens descendant générées dans un réseau de radiotéléphonie cellulaire à accès de type W-CDMA, mis en œuvre à l'aide d'un système informatique comprenant des moyens de mémorisation pour stocker notamment des données représentatives de cartes de couverture du réseau, des moyens d'affichage, des moyens de sélection de cellules du réseau par des moyens interactifs d'interface et un module de calcul, procédé caractérisé en ce qu'il comporte :

- 10 - une étape de sélection sur un dispositif d'affichage, par l'intermédiaire des moyens interactifs, d'une représentation d'une zone de travail issue des données de cartes et couverte par un ensemble de cellules,
- 15 - une étape de sélection sur les moyens d'affichage par les moyens de sélection de cellules d'un sous-ensemble de cellules considérées comme interférentes, respectivement d'un sous-ensemble de cellules considérées comme interférées, parmi n'importe lesquelles des cellules de l'ensemble couvrant la zone de travail représentée,
- 20 - une étape de saisie par les moyens interactifs de niveaux de seuil pour les rapports signal/interférences ainsi que d'au moins un paramètre relatif à la puissance des cellules interférentes, un paramètre pour un canal de trafic que l'on souhaite étudier et un paramètre pour un contour délimitant une zone de calcul dans la zone de travail,
- 25 - une étape de détermination par le module de calcul de la zone géographique desservie par le sous-ensemble des cellules interférées dite zone de service, et de représentation de cette zone de service,
- une étape d'estimation par le module de calcul du recouvrement de chacune des cellules interférentes avec la zone de service, pour définir et mémoriser dans les moyens de mémorisation une zone de recouvrement,

- une étape de calcul par le module de calcul, en chaque point ou pixel de la zone de recouvrement, du niveau de champ reçu de la cellule interférente respectivement du niveau de champ reçu de la cellule interférée serveuse pour le pixel considéré,
- 5 - une étape de calcul par le module de calcul, en chaque point ou pixel de la zone de recouvrement, du champ interférent qui est la somme des champs reçus de toutes les cellules interférentes.

Selon une autre particularité de l'invention, une étape d'estimation d'une valeur représentative du rapport signal/interférences est réalisée pour chaque
10 pixel à partir de données d'atténuation et des paramètres.

Selon une autre particularité de l'invention, les paramètres relatifs au canal de trafic comprennent le débit dans le canal, un rapport signal/interférences cible, et une puissance moyenne par canal.

Selon une autre particularité, la puissance des cellules interférentes est
15 paramétrée pour le cas à interférences maximales, lorsque les cellules interférentes sont desservies par un node B du réseau émettant à pleine puissance.

Selon une autre particularité de l'invention, la puissance des cellules interférentes est paramétrée pour le cas à interférences minimales, avec une
20 émission limitée au canal pilote commun CPICH des stations de base du réseau.

Selon une autre particularité, les niveaux de seuil pour les rapports signal/interférences sont fonctions de données géomarketing, représentatives d'une qualité de service souhaitée, mémorisées dans une mémoire du système informatique.

25 Selon une autre particularité, le module de calcul calcule, pour chaque pixel de la zone de recouvrement, la valeur $I_{0 \text{ voisine}}$ du champ d'interférence créé par chacune des cellules interférentes pour le calcul d'une matrice, ainsi que la

somme des champs créés par toutes les cellules interférentes, à partir de données d'atténuation et de la puissance des cellules fixée en paramètre.

Selon une autre particularité, une matrice d'interférences est formée par une opération d'intégration sur l'ensemble de la zone de recouvrement de l'ensemble des résultats obtenus pour chaque pixel de la zone de recouvrement, le module de calcul déterminant le taux de brouillage global $T_{bi/j}$ de chacune des cellules interférées serveuses par les cellules interférentes.

Ainsi, il est facile de sélectionner un nombre limité de stations, par exemple les plus perturbatrices, et on limite donc la puissance de calcul requise, tout en fournissant une bonne précision par le fait que la matrice d'interférences tient mieux compte de la réalité du terrain dans les prévisions de brouillage.

Selon une autre particularité, le rapport E_b/N_0 de la puissance moyenne du signal sur la densité spectrale moyenne du bruit est calculé en chaque pixel de la zone de recouvrement par le module de calcul suivant la formule :

$E_b/N_0 = E_c/I_0 + \text{gain d'étalement}$, où I_0 est la valeur totale du champ d'interférence avec $I_0 = \sum I_{0 \text{ voisine}} + \text{bruit thermique} + I_{0 \text{ serveuse}}$, E_c est la valeur de la puissance moyenne du signal de la cellule serveuse pour le pixel, $I_{0 \text{ serveuse}}$ est la valeur du champ d'interférence de la cellule serveuse et le gain d'étalement correspond à la valeur du débit du canal choisi en paramètre, les valeurs pour E_c et $I_{0 \text{ serveuse}}$ étant préalablement déterminées par le module de calcul à partir des données d'atténuation et de la puissance fixée en paramètre pour cette cellule.

Selon une autre particularité, des moyens de comparaison permettent au module de calcul de sélectionner au moins trois cellules interférentes constituant les cellules les plus brouilleuses par comparaison des valeurs de la matrice d'interférences.

Selon une autre particularité, une étape d'affichage en chaque pixel de la valeur du rapport E_b/N_0 de la puissance moyenne du signal sur la densité

spectrale moyenne du bruit est réalisée pour les cellules interférées de la zone de recouvrement par l'intermédiaire des moyens interactifs d'interface, des sous-zones de perturbation étant identifiées par l'emploi d'une représentation graphique spécifique pour les pixels d'une cellule interférée serveuse dont le rapport E_b/N_0 est inférieur à un niveau de seuil de rapport signal/interférences
5 saisi en paramètre pour la cellule interférée serveuse.

Selon une autre particularité, le module de calcul détermine en chaque pixel de la zone de recouvrement le rapport E_b/N_0 ou E_c/I_0 , ce rapport étant comparé en chaque pixel de la zone de service à un seuil indiqué en paramètre
10 de manière à calculer, pour chaque couple cellule interférente - cellule interférée serveuse, une valeur représentative de l'excès de puissance de la cellule interférente, cette valeur étant reportée dans une matrice.

Selon une autre particularité, le module de calcul détermine en chaque pixel de la zone de recouvrement le rapport E_b/N_0 ou E_c/I_0 , ce rapport étant comparé en chaque pixel de la zone de service à un seuil indiqué en paramètre
15 de manière à calculer pour chaque cellule interférée une valeur représentative de la perturbation au sein de la cellule interférée. La valeur de I_0 est égale dans ce cas à la somme des interférences générées par les cellules interférentes.

Selon une autre particularité, le résultat de perturbation calculé est utilisé
20 pour réaliser un contrôle de puissance pour au moins la cellule la plus brouilleuse, par modification du diagramme de rayonnement d'une antenne adaptative de la cellule, pour augmenter le rapport signal/interférences dans cette cellule.

Un autre but de l'invention est d'apporter une solution à un ou plusieurs
25 des problèmes rencontrés dans l'art antérieur en définissant un système informatique pour la mise en œuvre du procédé selon l'invention.

Ce but est atteint par un système informatique de calcul et de visualisation des interférences mutuelles dans le sens descendant générées dans un réseau de radiotéléphonie cellulaire à accès de type W-CDMA pour la mise en œuvre

du procédé selon l'invention, comportant des moyens de mémorisation, des moyens de sélection et un module de calcul, lesdits moyens de mémorisation comportant dans une première mémoire des données représentatives de cartes géographiques découpées en une pluralité de points ou pixels selon le découpage dudit réseau et dans une seconde mémoire des données représentatives d'une couverture radio relative au réseau, le dit système étant caractérisé en ce qu'il comporte :

- des moyens interactifs d'interface entre l'utilisateur et ledit système, reliés aux moyens de sélection pour sélectionner et afficher au moins une zone de travail issue des données de cartes, et couverte par un ensemble de cellules de couverture radio disposées selon une implantation définie par les données de la seconde mémoire,
- des moyens de configuration sélectionnables par les moyens interactifs pour mémoriser dans un fichier de configuration du système, à partir de n'importe lesquelles des cellules de l'ensemble couvrant la zone de travail, un premier sous-ensemble de cellules à considérer comme interférentes et un deuxième sous-ensemble de cellules à considérer comme interférées, les moyens de configuration permettant d'une part la définition de niveaux de seuil pour les rapports signal/interférences ainsi que des paramètres relatifs à la puissance des cellules interférentes, au canal de trafic que l'on souhaite étudier et au contour délimitant une zone de calcul dans la zone de travail, et d'autre part la mémorisation de ces données dans un fichier de configuration,

le module de calcul comprenant des moyens de détermination de la zone de service desservie par le sous-ensemble des cellules interférées, des moyens d'estimation du recouvrement de chacune des cellules interférentes avec la zone de service pour définir et mémoriser dans une mémoire des moyens de mémorisation une zone de recouvrement, et des moyens de calcul en chaque point ou pixel de la zone de recouvrement de l'atténuation de la cellule

interférente, respectivement de l'atténuation de la cellule interférée serveuse pour le pixel considéré.

Selon une autre particularité, le module de calcul est relié à des moyens d'extraction des données du fichier de configuration et des données
5 représentatives des atténuations stockées dans une troisième mémoire des moyens de mémorisation, le module de calcul déterminant en chaque pixel de la zone de recouvrement une valeur représentative du rapport signal/interférences à partir des atténuations stockées dans la troisième mémoire et des paramètres du fichier de configuration.

10 Selon une autre particularité, les moyens interactifs d'interface comprennent des moyens d'afficher en chaque pixel de la zone de recouvrement la valeur représentative du rapport signal/interférences E_b/N_0 de la puissance moyenne du signal sur la densité spectrale moyenne du bruit, et des moyens de représenter pour chaque cellule interférée serveuse des sous-zones de
15 perturbation représentés par des pixels spécifiques dont le rapport E_b/N_0 est inférieur à un niveau de seuil de rapport signal/interférences saisi en paramètre pour la cellule interférée serveuse.

Selon une autre particularité, le système selon l'invention comporte des moyens de commande à distance pour effectuer un contrôle de puissance dans
20 au moins la cellule interférente engendrant la perturbation la plus étendue, par modification du diagramme de rayonnement d'une antenne adaptative de ladite cellule interférente.

L'invention, avec ses caractéristiques et avantages, ressortira plus clairement à la lecture de la description faite en référence aux dessins annexés
25 donnés à titre d'exemples non limitatifs dans lesquels :

- la figure 1 représente schématiquement le système informatique selon l'invention et une carte de la zone de travail d'un réseau radio à accès W-CDMA avec la visualisation des interférences mutuelles dans le sens descendant calculées par le procédé selon l'invention,

- la figure 2 représente de manière schématique la zone de travail de la figure 1 sélectionnée par l'utilisateur dans un réseau radio de type UMTS,
- la figure 3 représente une matrice de coefficients de perturbation entre cellules, servant de base de données et obtenue à partir de la mise en oeuvre du procédé de l'invention,
- la figure 4 représente un exemple de processus à plusieurs étapes mis en oeuvre dans l'invention pour le calcul d'interférences et la création de cartes de perturbations,
- la figure 5 représente des moyens de configuration permettant d'effectuer la phase de sélection préalable des cellules et de saisir dans un fichier de configuration des données et paramètres nécessaires au processus de calcul selon l'invention.

L'invention va à présent être décrite en liaison avec les figures 1, 2 et 5.

De manière spécifique dans le sens de liaison descendant d'un réseau radio de type UMTS ou de type similaire fonctionnant avec le protocole W-CDMA, tout dispositif de réception et de transmission formé par un Node B (4, figure 2) transmet, par l'intermédiaire d'une antenne (41, 42), un signal sur une bande de fréquence commune à tous les terminaux mobiles des usagers de ce réseau. La figure 2 représente un exemple de portion (30) de réseau d'accès radio de type UMTS que l'utilisateur du système informatique (1) selon l'invention peut sélectionner sur l'affichage du système informatique pour réaliser une étude des interférences mutuelles entre cellules. Comme illustré à la figure 2, un Node B (4) peut être associé par exemple à une antenne (41) omnidirectionnelle ou à au moins une antenne (42) sectorielle émettant dans un seul secteur. Le routage des communications entre le Node B (4) et le cœur du réseau est effectué à l'aide d'éléments (40) RNC (Radio Network Controller). Chacune des antennes (41, 42) en fonctionnement couvre une zone territoriale qui définit une cellule

radio au sein de laquelle les équipements d'utilisateurs peuvent communiquer avec le réseau.

Les moyens de mémorisation (2) du système informatique (1) selon l'invention comprennent une première mémoire (21) pour stocker des données représentatives de cartes géographiques représentatives d'un territoire et découpées en une pluralité de points ou pixels selon le découpage du réseau. Les moyens de mémorisation (2) comprennent aussi une seconde mémoire (22) pour stocker des données représentatives d'une couverture radio relative au réseau. Comme illustré à la figure 1, le système (1) dispose d'autres mémoires (23, 24, 25, 26) pour stocker des données ou paramètres nécessaires pour le calcul des interférences. Parmi ces moyens de mémorisation (2), une mémoire (24) permet de mémoriser des données de géomarketing permettant d'affecter un degré variable de qualité de service selon la nature -par exemple ville, axe routier ou campagne- des zones de territoire étudiées. Le système informatique (1) comporte en outre des moyens interactifs d'interface (3) permettant la saisie et l'affichage de données ainsi que des moyens de sélection (12) permettant à l'utilisateur de choisir sur l'affichage notamment une zone de travail (6) couverte par un ensemble de cellules radio du réseau. A partir de cette zone de travail (6) issue des données de cartes représentées sur l'affichage, l'utilisateur choisit un sous-ensemble de cellules (61) que l'on veut considérer comme interférentes et un sous-ensemble de cellules (62) que l'on peut considérer comme interférées.

Pour cela, l'utilisateur sélectionne, à l'aide des moyens interactifs (3) et d'un menu, une interface de configuration (33). Dans le mode de réalisation de la figure 5, la sélection de chaque sous-ensemble de cellules peut être réalisée à l'aide d'un indicateur (34) pouvant être déplacé dans la zone de travail (6). Le mode de sélection peut s'effectuer en désignant l'antenne (41, 42) correspondant à la cellule choisie.

Chacun des deux sous-ensembles peut être réduit à un seul Node B (4) ou même à une seule cellule. Le sous-ensemble de cellules interférées et le sous-ensemble de cellules interférentes peuvent avoir des cellules en commun

ou même être identiques. Dans un mode de réalisation de l'invention, la sélection s'effectue en mettant par exemple en surbrillance un ensemble de représentations de cellules pris en déplaçant l'indicateur (34) pour l'amener sur une case « cellule interférée » ou « cellule interférente » pour faire apparaître la
5 liste correspondante. L'interface de configuration (33) permet également dans une zone fenêtre de l'affichage la saisie de niveaux de seuil, par exemple (331) pour cellules interférentes (61) et (332) pour cellules interférées (62), pour les rapports signal/interférences ainsi que de paramètres relatifs à la puissance des cellules interférentes (333), au canal de trafic (334) que l'on souhaite étudier et
10 au contour (335) délimitant une zone de calcul dans la zone de travail. Des paramètres de calcul supplémentaires peuvent être envisagés. L'ensemble des données saisies par l'intermédiaire de l'interface de configuration (33) est stocké dans les moyens de mémorisation (2) du système informatique (1), dans un fichier de configuration (25).

15 Parmi les paramètres à définir dans le fichier de configuration (25), l'utilisateur doit notamment préciser si le canal pris en compte dans la modélisation est le canal pilote commun CPICH (de l'anglais Common Pilot CHannel) ou un autre canal de trafic des stations de base du réseau, destiné à la voix ou au téléchargement de données à des débits déterminés. En variante, il
20 est possible de prendre en compte au moins un canal d'utilisateur pour lequel la puissance est paramétrée. Le sens de communication à considérer dans le processus de l'invention reste toujours le sens de liaison descendant d'un nœud de transmission Node B (4) vers le terminal ou « downlink ». L'interface de configuration (33) permet de définir pour le canal considéré un débit, une valeur
25 cible du rapport signal à interférence E_b/N_0 et une puissance moyenne. Un autre paramètre à saisir est la puissance affectée aux cellules interférentes. On peut considérer le cas extrême où le Node B (4) émet à pleine puissance sur tous les canaux de transmission ou le cas opposé avec le seul canal CPICH ou encore
30 à partir d'indicateurs d'un centre OMC de supervision des équipements. Dans un mode de réalisation de l'invention, le contour de la zone de calcul peut

également être défini par l'utilisateur. Il est ainsi possible pour l'utilisateur, à l'aide de l'indicateur ou un moyen de sélection équivalent, d'éliminer de la zone de travail (6) des zones géographiques peu significatives telles que les surfaces aquatiques et les parcs par exemple.

5 L'interface de configuration (33) propose en outre, en fonction du canal saisi en paramètre, différents seuils d' E_b/N_0 que l'utilisateur peut adapter. Ces seuils, stockés dans le fichier de configuration (25), sont choisis pour garantir différents niveaux de qualité de service. De tels seuils peuvent être adaptés en fonction des données géomarketing correspondant à une qualité de service
10 souhaitée, en fonction des recommandations issues d'études, simulations et mesures terrain.

Une fois les données et paramètres de calcul saisis, le système informatique (1) peut procéder à la phase de calcul. Le système (1) dispose d'un module de calcul (11) comprenant des moyens de détermination de la zone de
15 service (63) desservie par le sous-ensemble des cellules interférées (62). Dans un mode de réalisation de l'invention, cette zone de service (63) est incluse dans la zone de calcul définie par l'utilisateur. Le module de calcul (11) comprend également des moyens d'estimation du recouvrement de chacune des cellules interférentes (61) avec la zone de service (63) pour définir et mémoriser dans
20 une mémoire (23) des moyens de mémorisation (2) une zone de recouvrement (64) globale. Cette zone de recouvrement (64) globale entre cellules interférentes (61) et zone de service (63) peut comporter par exemple plusieurs zones distinctes de recouvrement, comme illustré à la figure 1. Dans ce qui suit, on entend par zone de recouvrement (64) l'ensemble des surfaces constituées
25 des zones de recouvrement distinctes entre cellules interférentes (61) et cellules appartenant à la zone de service (63). Le calcul de ce recouvrement est réalisé en tenant compte des paramètres de calcul stockés dans le fichier de configuration (25).

Le découpage en pixels des cartes, issu de données de carte numérique
30 (CN) stockées dans la première mémoire (21) des moyens de mémorisation (2),

permet de distinguer très localement les problèmes d'interférences. Un pixel peut par exemple correspondre à une surface inférieure à 0,5 km². Dans des variantes de réalisation, la carte numérique (CN) spécifie notamment les reliefs naturels et artificiels, ainsi que leur nature, telle que forêt, immeubles et autres, ce qui permet de calculer une estimation de l'atténuation radio de la liaison affectée par les reliefs. Le module de calcul (11) du système (1) comporte des moyens de calcul en chaque pixel de la zone de recouvrement (64) de l'atténuation de la cellule interférente (61), respectivement de l'atténuation de la cellule interférée serveuse pour le pixel considéré. L'atténuation est le résultat de calcul par des modèles de propagation radio. Dans le cas de la construction d'une matrice pour visualiser les interférences, le niveau de champ interférent est celui de chaque cellule interférente (61), ce niveau de champ étant notamment déterminé en tenant compte de données puissance – atténuation. Dans le cas d'une visualisation globale sur une zone sélectionnée, le champ interférent est la somme des niveaux de champ reçu de toutes les cellules interférentes (61). Des données représentatives des atténuations ainsi calculées sont stockées dans une troisième mémoire (26) des moyens de mémorisation (2).

Dans un mode de réalisation de l'invention, le module de calcul (11), relié à des moyens d'extraction (13) des données du fichier de configuration (25) et des données représentatives des atténuations calculées, permet de déterminer en chaque pixel de la zone de recouvrement (64) une valeur représentative du rapport signal à interférences à partir des atténuations stockées dans la troisième mémoire (26) et des paramètres du fichier de configuration (25). Le rapport signal/interférences E_b/N_0 de la puissance moyenne du signal sur la densité spectrale moyenne du bruit et le rapport E_c/I_0 de la puissance moyenne du signal émis par la cellule interférente sur le bruit sont par exemple calculés par le module de calcul pour chaque pixel de la zone de recouvrement (64) à partir des atténuations respectives dans chaque pixel, du canal défini en paramètre et de son débit qui représente le gain d'étalement, la puissance moyenne du canal, et à partir de la puissance de la cellule interférente (61). Le



rapport E_b/N_0 ou E_c/I_0 peut être comparé en chaque pixel de la zone de service (63) à un seuil indiqué en paramètre de manière à calculer pour chaque cellule interférée (62) une valeur représentative de la perturbation au sein de la cellule interférée. En variante, cette comparaison peut être réalisée uniquement dans la zone de recouvrement (64).

Les moyens interactifs (3) d'interface comprennent des moyens d'afficher en chaque pixel de la zone de recouvrement (64) la valeur représentative du rapport signal/interférences E_b/N_0 de la puissance moyenne du signal sur la densité spectrale moyenne du bruit. Comme représenté à la figure 1, les moyens interactifs (3) d'interface comportent également des moyens de représenter les cellules interférées (62) serveuses des sous-zones (60) de perturbation par des pixels spécifiques dont le rapport E_b/N_0 est inférieur à un niveau de seuil de rapport signal/interférences saisi en paramètre pour la cellule interférée (62) serveuse. La représentation graphique des pixels des sous-zones (60) de perturbation consiste par exemple en un type de couleur ou de dégradé différent, comme représenté sur la carte (31) des perturbations par brouillage de la figure 1.

Dans un mode de réalisation de l'invention, le module de calcul (11) détermine, pour chaque pixel de la zone de recouvrement (64), la valeur I_0 voisine du champ d'interférence créé par chacune des cellules interférentes (61), à partir des atténuations et de la puissance des cellules fixées en paramètre. Le rapport E_b/N_0 de la puissance moyenne du signal sur la densité spectrale moyenne du bruit est alors calculé en chaque pixel de la zone de recouvrement (64) par le module de calcul (11) suivant la formule :

$$E_b/N_0 = E_c/I_0 + \text{gain d'étalement},$$

où I_0 est la valeur totale du champ d'interférence avec $I_0 = \sum I_0 \text{ voisine} + \text{bruit thermique} + I_0 \text{ serveuse}$, E_c est la valeur de la puissance moyenne du signal de la cellule serveuse pour le pixel, $I_0 \text{ serveuse}$ est la valeur du champ d'interférence de la cellule serveuse et le gain d'étalement correspond à la valeur du débit du canal choisi en paramètre, les valeurs pour E_c et $I_0 \text{ serveuse}$ étant préalablement

déterminées par le module de calcul (11) à partir des données d'atténuation stockées dans la troisième mémoire (26) et de la puissance fixée en paramètre pour cette cellule serveuse.

L'invention va à présent être décrite en liaison avec les figures 1, 3 et 4.

5 Dans le mode de réalisation de la figure 3, une matrice (32) dite d'interférences est formée par une opération d'intégration sur l'ensemble de la zone de recouvrement (64). Les statistiques calculées pour chaque couple de cellules interférente (61) / interférée (62) serveuse peuvent en effet être présentées de manière matricielle. Le module de calcul (11) détermine le taux de
10 brouillage global $T_{bi/j}$ de chacune des cellules interférées (62) serveuses par les cellules interférentes (61). Ce taux $T_{bi/j}$ est positionné dans le tableau matriciel représenté à la figure 3, à l'intersection de la colonne correspondant à la cellule interférée (62) et de la ligne correspondant à la cellule interférente (61). Les taux de brouillage, appelés également coefficients de perturbation, peuvent être
15 stockés dans les moyens de mémorisation (2) et servir de base de données.

Pour former une telle matrice (32), le module de calcul détermine par exemple en chaque pixel de la zone de recouvrement (64) le rapport E_b/N_0 ou E_c/I_0 , puis ce rapport est comparé en chaque pixel de la zone de service (63) à un seuil indiqué en paramètre par l'utilisateur de manière à calculer pour chaque
20 couple cellule interférente (61) - cellule interférée (62) serveuse une valeur représentative de l'excès de puissance de la cellule interférente (61), obtenue par exemple par simple différence entre la valeur atteinte pour et la valeur seuil d' E_b/N_0 entrée par l'utilisateur comme paramètre. Dans un mode de réalisation de l'invention, la valeur représentative du taux de brouillage $T_{bi/j}$ est reportée
25 dans la matrice (32). L'utilisation de telles matrices (32) à coefficients de perturbation permet d'orienter facilement les décisions dans le cadre de la réduction des interférences et de l'optimisation d'un réseau UMTS. De plus il est facile de hiérarchiser les actions en agissant de manière prioritaire sur les antennes (61, 62) des sites engendrant le plus de brouillage. Dans un mode de
30 réalisation de l'invention, le module de calcul (11) peut sélectionner au moins

trois cellules interférentes (61) constituant les cellules brouilleuses les plus perturbatrices par comparaison des valeurs de la matrice (32) à coefficients de perturbation.

Les antennes (61, 62) utilisées pour former les cellules radio du réseau UMTS sont par exemple des antennes adaptatives, dont le diagramme de rayonnement peut être ajusté. Afin de contrôler directement la puissance des antennes (61, 62) générant un brouillage trop important, le système informatique (1) selon l'invention peut comporter des moyens de commande à distance (non représenté) permettant de modifier le diagramme de rayonnement d'une antenne adaptative, pour augmenter le rapport signal/interférences dans la cellule générée par l'antenne. Un tel ajustement de puissance peut s'effectuer dans au moins la cellule interférente engendrant la perturbation la plus étendue. Dans un mode de réalisation de l'invention, chacune des antennes (61, 62) correspondant à une des cellules interférentes (61) les plus perturbatrices pourra être réglée de manière automatique. Ceci est par exemple envisageable par commande à distance d'une molette ou autre élément motorisé déphasant des dipôles de l'antenne.

La figure 4 récapitule différentes phases du processus selon l'invention. Ainsi, on comprend que l'étape préalable (50) de sélection de la zone de travail (6) permet de visualiser, par l'intermédiaire des moyens interactifs (3), une carte (30) de la zone de travail. Le processus se poursuit par une étape (51) de sélection des cellules interférentes (61) et interférées (62). Cette étape (51) permet éventuellement de se restreindre à un nombre très limité de cellules interférentes (61). Il s'ensuit l'étape de saisie (52) de paramètres de calcul et de saisie (52') de seuils de référence de E_b / N_0 pour notamment adapter la qualité de la communication en fonction de l'importance d'un point de vue marketing d'une zone étudiée. Puis vient une étape (53) de détermination de la zone de service (63) par le module de calcul (11) et de représentation de cette zone de service (63). Dès lors, une étape (54) d'estimation de la zone de recouvrement (64) et une étape (55) de calcul des niveaux de champ reçu des cellules sélectionnées sont réalisées par le module de calcul (11). Le champ interférent,

qui est la somme des champs reçus de toutes les cellules interférentes (61), est également calculé au cours d'une étape supplémentaire (55').

Une étape (56) de modélisation peut ensuite être effectuée par le module de calcul (11) pour déterminer en chaque point de la zone de recouvrement (64) le rapport signal/bruit. Le système (1) selon l'invention permet de former, en
5 tenant compte de la modélisation susmentionnée, une carte (31) des perturbations par brouillage pour visualiser directement les interférences. De manière analogue, le système permet de former une matrice des coefficients de perturbation qui peut être facilement exploitée en vue d'optimiser le réseau radio
10 UMTS. Les données représentatives des valeurs du rapport signal/bruit pour chaque pixel de la zone de recouvrement (64) sont stockées dans les moyens de mémorisation (2) lors d'une étape (57) de stockage.

Un des avantages du procédé selon l'invention est la prise en compte d'un minimum d'hypothèses et la simplicité de calcul par rapport aux méthodes
15 existantes nécessitant des échantillonnages. L'invention permet de minimiser les erreurs d'estimation, tout en détectant très rapidement les cellules interférentes à fort taux de brouillage. Le procédé offre donc la possibilité d'agir en priorité sur les « points noirs » d'un réseau dont l'interface radio fonctionne selon le protocole W-CDMA.

20 Un avantage supplémentaire de l'invention est de donner un aspect plus opérationnel à l'impact d'une mauvaise ingénierie ou planification. De plus, cette méthode permet par exemple une optimisation d'un réseau radio UMTS ou équivalent tout au long de son évolution.

Il doit être évident pour les personnes versées dans l'art que la présente
25 invention permet des modes de réalisation sous de nombreuses autres formes spécifiques sans l'éloigner du domaine d'application de l'invention comme revendiqué. Par conséquent, les présents modes de réalisation doivent être considérés à titre d'illustration, mais peuvent être modifiés dans le domaine défini par la portée des revendications jointes, et l'invention ne doit pas être
30 limitée aux détails donnés ci-dessus.



REVENDICATIONS

1. Procédé de calcul et de visualisation des interférences mutuelles dans le sens descendant générées dans un réseau de radiotéléphonie cellulaire à accès de type W-CDMA, mis en œuvre à l'aide d'un système informatique (1) comprenant des moyens de mémorisation (2) pour stocker notamment des données représentatives de cartes (CN) de couverture du réseau, des moyens d'affichage, des moyens de sélection (34) de cellules du réseau par des moyens interactifs d'interface (3) et un module de calcul (11), procédé caractérisé en ce qu'il comporte :
- 10 - une étape (50) de sélection par l'intermédiaire des moyens interactifs (3) sur un dispositif d'affichage d'une représentation d'une zone de travail (6) issue des données de cartes (CN) et couverte par un ensemble de cellules,
 - 15 - une étape (51) de sélection sur les moyens d'affichage par les moyens de sélection (34) de cellules d'un sous-ensemble de cellules (61) considérées comme interférentes, respectivement d'un sous-ensemble de cellules (62) considérées comme interférées, parmi n'importe lesquelles des cellules de l'ensemble couvrant la zone de travail (6) représentée,
 - 20 - une étape de saisie (52, 52') par les moyens de configuration (33) de niveaux de seuil pour les rapports signal/interférences ainsi que d'au moins un paramètre relatif à la puissance des cellules interférentes (61), un paramètre pour un canal de trafic que l'on souhaite étudier et un paramètre pour un contour délimitant une zone de calcul dans la zone de travail (6),
 - 25 - une étape (53) de détermination par le module de calcul (11) de la zone géographique desservie par le sous-ensemble des cellules interférées (61) dite zone de service (63), et de représentation de cette zone de service (63),

- une étape (54) d'estimation par le module de calcul du recouvrement de chacune des cellules interférentes (61) avec la zone de service (63), pour définir et mémoriser dans les moyens de mémorisation (2) une zone de recouvrement (64),
- 5 - une étape (55) de calcul par le module de calcul (11), en chaque point ou pixel de la zone de recouvrement (64), du niveau de champ reçu de la cellule interférente (61), respectivement du niveau de champ reçu de la cellule interférée (62) serveuse pour le pixel considéré,
- une étape de calcul (55') par le module de calcul (11), en chaque point
10 ou pixel de la zone de recouvrement (64), du champ interférent qui est la somme des champs reçus de toutes les cellules interférentes (61).

2. Procédé selon la revendication 1, dans lequel une étape (56) d'estimation d'une valeur représentative du rapport signal/interférences est réalisée pour chaque pixel à partir des niveaux de champ et des paramètres.

- 15 3. Procédé selon la revendication 1 ou 2, dans lequel les paramètres relatifs au canal de trafic comprennent le débit dans le canal, un rapport signal/interférences cible, et une puissance moyenne par canal.

- 20 4. Procédé selon l'une quelconque des revendications 1 à 3, dans lequel la puissance des cellules interférentes (61) est paramétrée pour le cas à interférences maximales, lorsque les cellules interférentes sont desservies par un node B (4) du réseau émettant à pleine puissance.

5. Procédé selon l'une quelconque des revendications 1 à 3, dans lequel la puissance des cellules interférentes (61) est paramétrée pour le cas à interférences minimales, avec une émission limitée au canal pilote commun
25 CPICH des stations de base du réseau.

6. Procédé selon l'une quelconque des revendications 1 à 5, dans lequel les niveaux de seuil pour les rapports signal/interférences sont fonctions de



données géomarketing, représentatives d'une qualité de service souhaitée, mémorisées dans une mémoire (24) du système informatique (1).

7. Procédé selon l'une quelconque des revendications 1 à 6, dans lequel le module de calcul (11) calcule, pour chaque pixel de la zone de recouvrement (64), la valeur I_0 voisine du champ d'interférence créé par chacune des cellules interférentes (61) pour le calcul d'une matrice ainsi que la somme des champs créés par toutes les cellules interférentes (61), à partir de données d'atténuation et de la puissance des cellules fixée en paramètre.

8. Procédé selon l'une quelconque des revendications 2 à 7, dans lequel une matrice d'interférences (31) est formée par une opération d'intégration sur l'ensemble de la zone de recouvrement (64) de l'ensemble des résultats obtenus pour chaque pixel de la zone de recouvrement (64), le module de calcul (11) déterminant le taux de brouillage global $T_{bi/j}$ de chacune des cellules interférées (62) serveuses par les cellules interférentes (61).

9. Procédé selon la revendication 7 ou 8, dans lequel le rapport E_b/N_0 de la puissance moyenne du signal sur la densité spectrale moyenne du bruit est calculé en chaque pixel de la zone de recouvrement (64) par le module de calcul (11) suivant la formule :

$$E_b/N_0 = E_c/I_0 + \text{gain d'étalement},$$

où I_0 est la valeur totale du champ d'interférence avec $I_0 = \sum I_{0 \text{ voisine}} + \text{bruit thermique} + I_{0 \text{ serveuse}}$, E_c est la valeur de la puissance moyenne du signal de la cellule serveuse pour le pixel, $I_{0 \text{ serveuse}}$ est la valeur du champ d'interférence de la cellule serveuse et le gain d'étalement correspond à la valeur du débit du canal choisi en paramètre, les valeurs pour E_c et $I_{0 \text{ serveuse}}$ étant préalablement déterminées par le module de calcul (11) à partir des données d'atténuation et de la puissance fixée en paramètre pour cette cellule.

10. Procédé selon l'une quelconque des revendications 7 à 9, dans lequel des moyens de comparaison permettent au module de calcul (11) de

sélectionner au moins trois cellules interférentes (61) constituant les cellules les plus brouilleuses par comparaison des valeurs de la matrice d'interférences (31).

11. Procédé selon l'une quelconque des revendications 9 ou 10, dans lequel une étape d'affichage en chaque pixel de la valeur du rapport E_b/N_0 de la puissance moyenne du signal sur la densité spectrale moyenne du bruit est réalisée pour les cellules interférées (62) de la zone de recouvrement (64) par l'intermédiaire des moyens interactifs (3) d'interface, des sous-zones (60) de perturbation étant identifiées par l'emploi d'une représentation graphique spécifique pour les pixels d'une cellule interférée (62) serveuse dont le rapport E_b/N_0 est inférieur à un niveau de seuil de rapport signal/interférences saisi en paramètre pour la cellule interférée (62) serveuse.

12. Procédé selon l'une quelconque des revendications 9 à 11, dans lequel le module de calcul (11) détermine en chaque pixel de la zone de recouvrement (64) le rapport E_b/N_0 ou E_c/I_0 , ce rapport étant comparé en chaque pixel de la zone de service (63) à un seuil indiqué en paramètre de manière à calculer pour chaque couple cellule interférente (61) - cellule interférée (62) serveuse une valeur représentative de l'excès de puissance de la cellule interférente (61), cette valeur étant reportée dans une matrice.

13. Procédé selon l'une quelconque des revendications 9 à 11, dans lequel le module de calcul (11) détermine en chaque pixel de la zone de recouvrement (64) le rapport E_b/N_0 ou E_c/I_0 , ce rapport étant comparé en chaque pixel de la zone de service (63) à un seuil indiqué en paramètre de manière à calculer pour chaque cellule interférée (61) une valeur représentative de la perturbation au sein de la cellule interférée (61), la valeur de I_0 étant égale à la somme des interférences générées par les cellules interférentes.

14. Procédé selon l'une quelconque des revendications 10 à 13, dans lequel le résultat de perturbation calculé est utilisé pour réaliser un contrôle de puissance pour au moins la cellule la plus brouilleuse, par modification du diagramme de rayonnement d'une antenne adaptative de la cellule, pour augmenter le rapport signal/interférences dans cette cellule.

15. Système informatique (1) de calcul et de visualisation des interférences mutuelles dans le sens descendant générées dans un réseau de radiotéléphonie cellulaire à accès de type W-CDMA pour la mise en œuvre du procédé selon l'une quelconque des revendications 1 à 14, comportant des
5 moyens de mémorisation (2), un module de calcul (11) et des moyens de sélection (12), lesdits moyens de mémorisation (2) comportant dans une première mémoire (21) des données représentatives de cartes (CN) géographiques découpées en une pluralité de points ou pixels selon le découpage dudit réseau et dans une seconde mémoire (22) des données
10 représentatives d'une couverture radio relative au réseau, le dit système (1) étant caractérisé en ce qu'il comporte :

- des moyens interactifs (3) d'interface entre l'utilisateur et ledit système (1), reliés aux moyens de sélection (12) pour sélectionner et afficher au moins une zone de travail (6) issue des données de cartes (CN), et
15 couverte par un ensemble de cellules de couverture radio disposées selon une implantation définie par les données de la seconde mémoire (22),
- des moyens de configuration (33, 34) sélectionnables par les moyens interactifs (3) pour mémoriser dans un fichier de configuration (25) du
20 système (1), à partir de n'importe lesquelles des cellules de l'ensemble couvrant la zone de travail (6), un premier sous-ensemble de cellules (61) à considérer comme interférentes et un deuxième sous-ensemble de cellules (62) à considérer comme interférées, les moyens de configuration (33) permettant d'une part la définition de niveaux de seuil
25 pour les rapports signal/interférences ainsi que des paramètres relatifs à la puissance des cellules interférentes (61), au canal de trafic que l'on souhaite étudier et au contour délimitant une zone de calcul dans la zone de travail (6), et d'autre part la mémorisation de ces données dans un fichier de configuration (25).

le module de calcul (11) comprenant des moyens de détermination de la zone de service (63) desservie par le sous-ensemble des cellules interférées (62), des moyens d'estimation du recouvrement de chacune des cellules interférentes (61) avec la zone de service (63) pour définir et mémoriser dans une mémoire (23) des moyens de mémorisation (2) une zone de recouvrement (64), et des moyens
5 de calcul en chaque point ou pixel de la zone de recouvrement (64) de l'atténuation de la cellule interférente (61), respectivement de l'atténuation de la cellule interférée (62) serveuse pour le pixel considéré.

16. Système selon la revendication 15, dans lequel le module de calcul
10 (11) est relié à des moyens d'extraction (13) des données du fichier de configuration (25) et des données représentatives des atténuations stockées dans une troisième mémoire (26) des moyens de mémorisation (2), le module de calcul (11) déterminant en chaque pixel de la zone de recouvrement (64) une valeur représentative du rapport signal/interférences à partir des atténuations
15 stockées dans la troisième mémoire (26) et des paramètres du fichier de configuration (25).

17. Système selon la revendication 15 ou 16, dans lequel les moyens interactifs (3) d'interface comprennent des moyens d'afficher en chaque pixel de la zone de recouvrement (64) la valeur représentative du rapport
20 signal/interférences E_b/N_0 de la puissance moyenne du signal sur la densité spectrale moyenne du bruit, et des moyens de représenter pour chaque cellule interférée (61) serveuse des sous-zones (60) de perturbation représentés par des pixels spécifiques dont le rapport E_b/N_0 est inférieur à un niveau de seuil de rapport signal/interférences saisi en paramètre pour la cellule interférée (62)
25 serveuse.

18. Système selon l'une quelconque des revendications 15 à 17, caractérisé en ce qu'il comporte des moyens de commande à distance pour effectuer un contrôle de puissance dans au moins la cellule interférente (61) engendrant la perturbation la plus étendue, par modification du diagramme de
30 rayonnement d'une antenne adaptative de ladite cellule interférente (61).

1/4

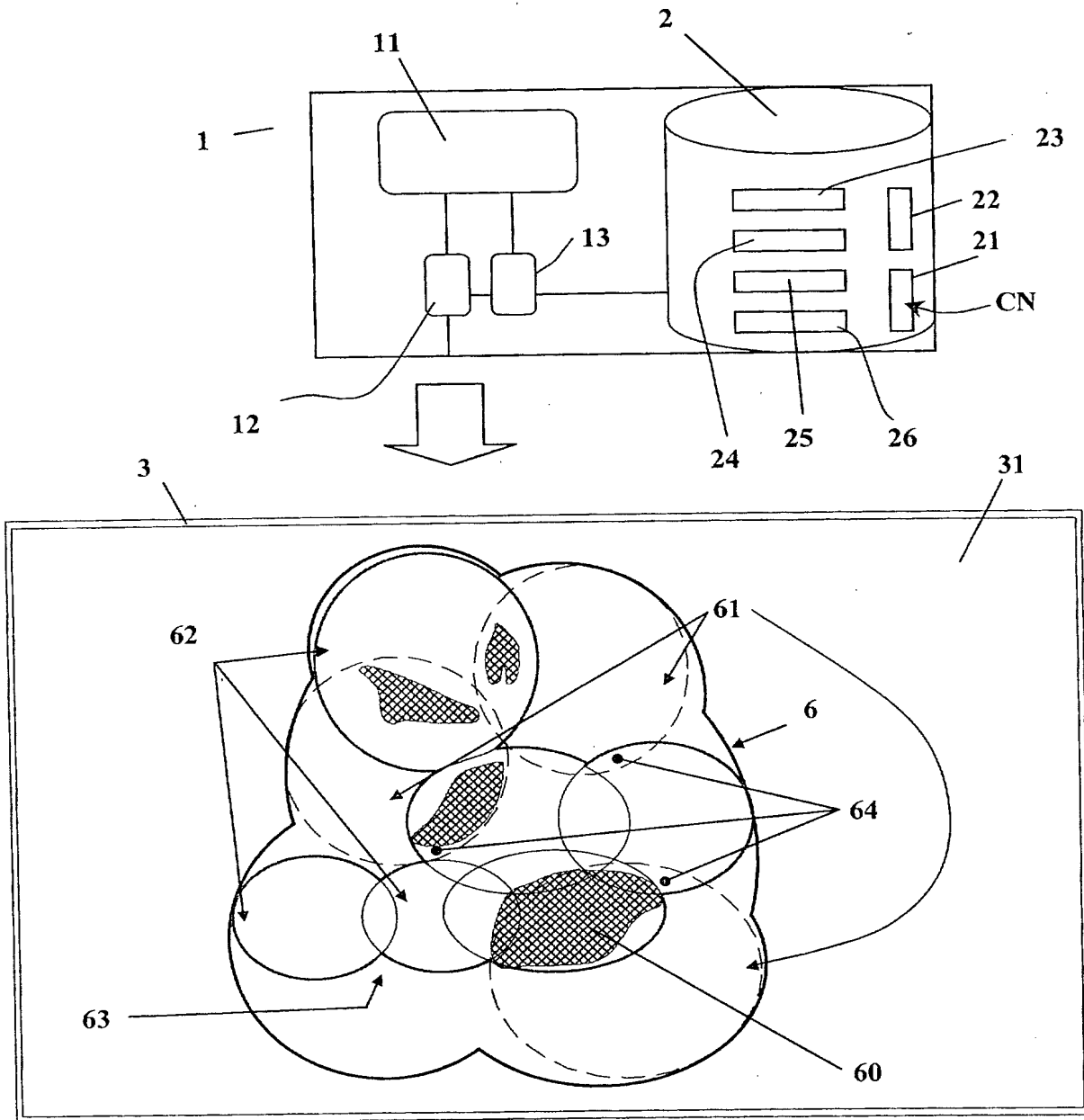


Fig. 1

2/4

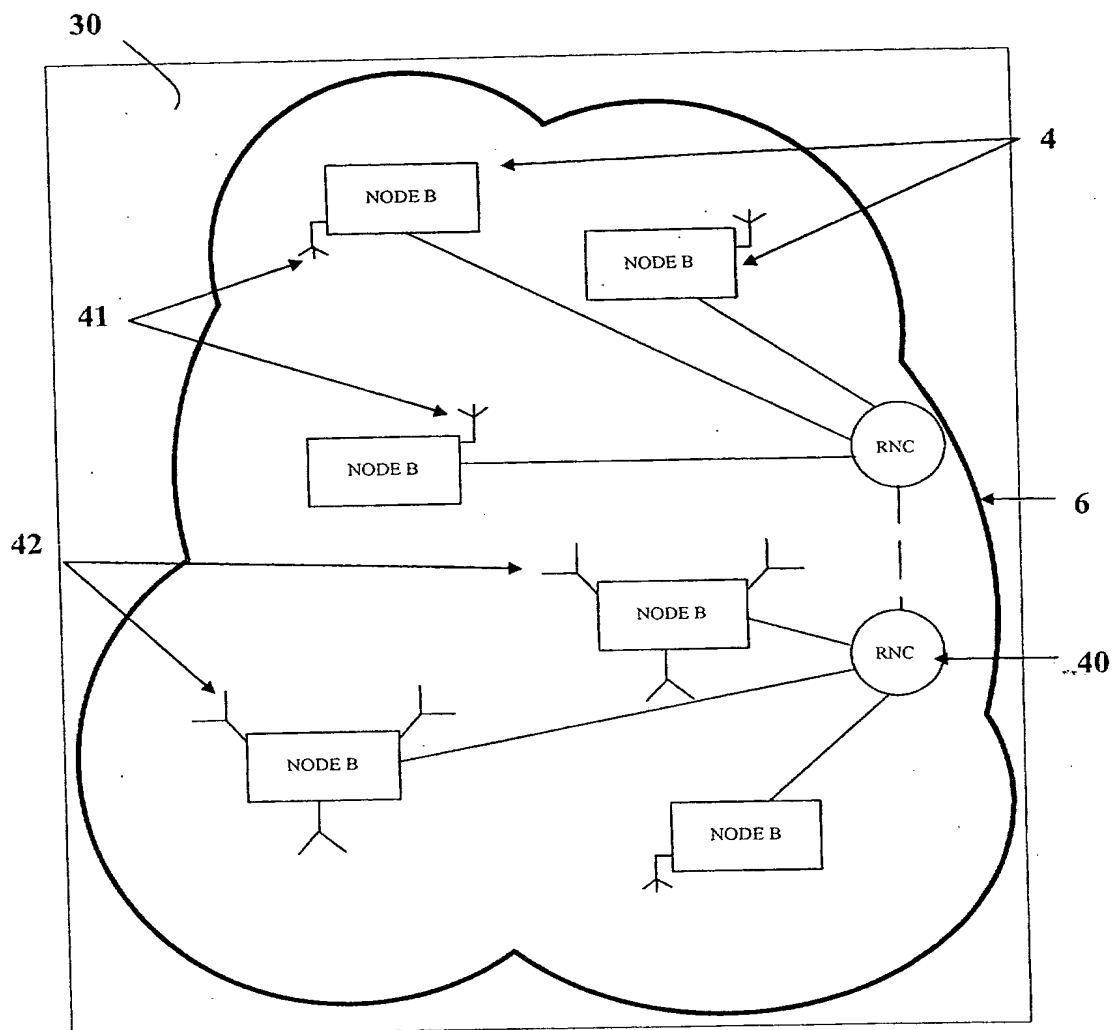


Fig. 2

	Cell 1	Cell j	Cell n
Cell B1	Tb1/1	Tb1/j	Tb1/n
Cell B2	Tb2/1		
Cell Bi	Tbi/1		
Cell Bm	Tbm/1		

Fig. 3

3/4

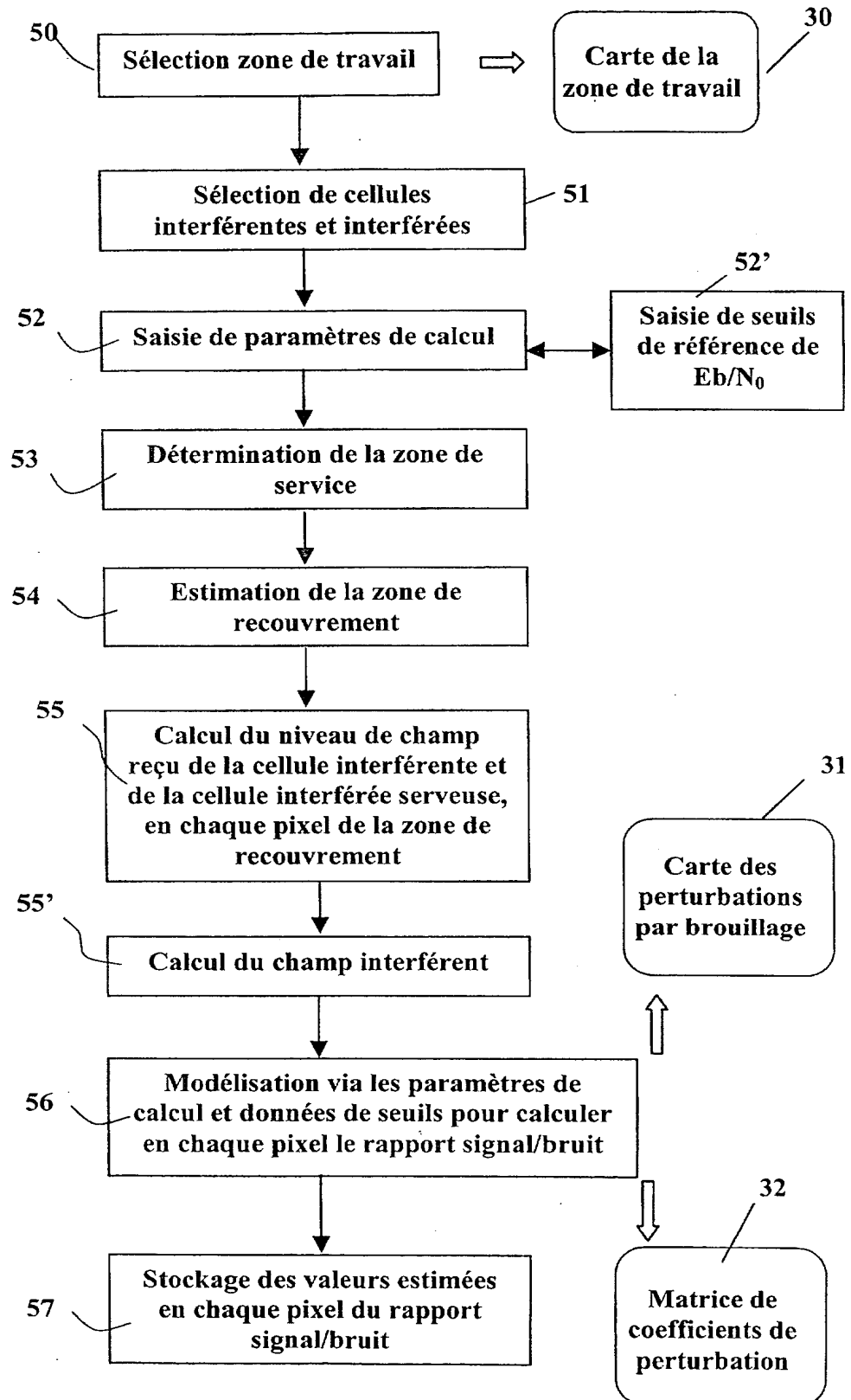
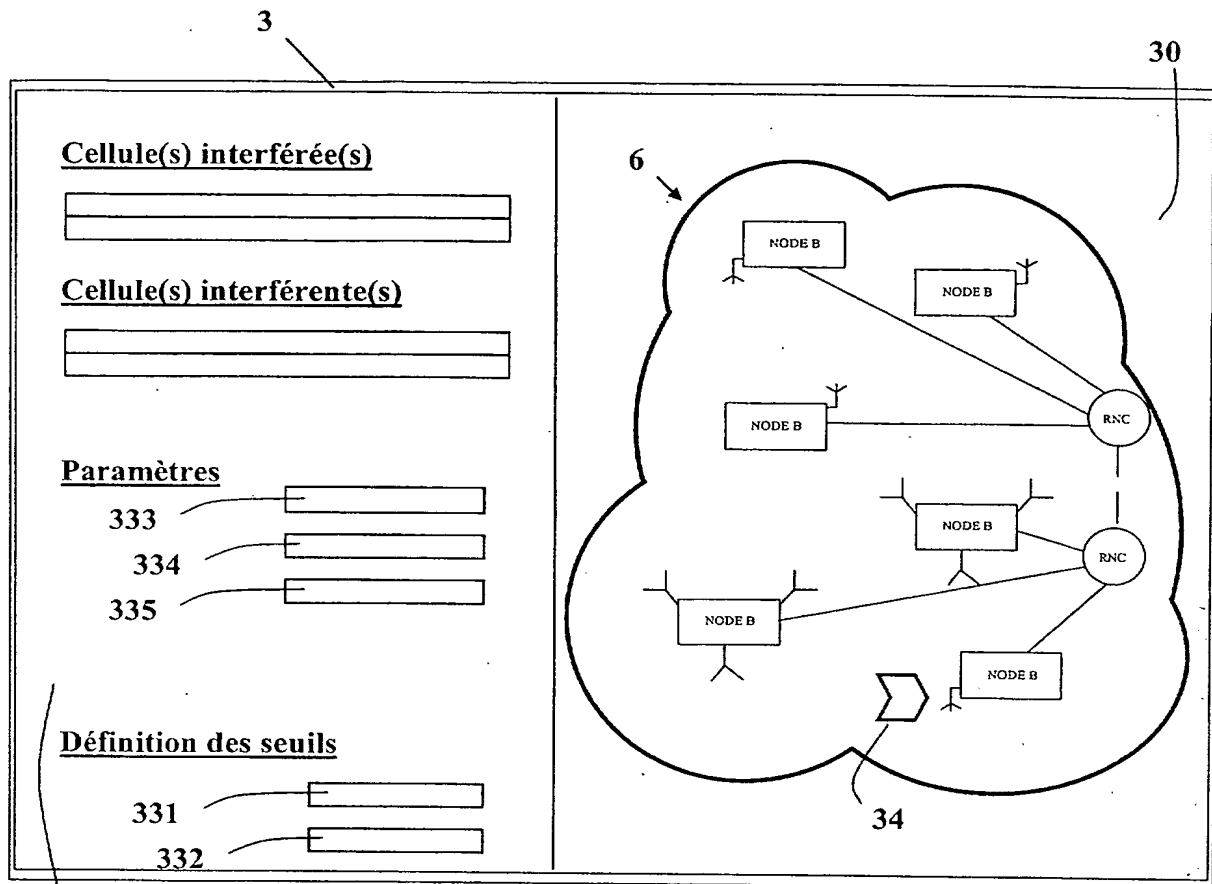


Fig. 4



33

Fig. 5



DÉPARTEMENT DES BREVETS

26 bis, rue de Saint Pétersbourg
75800 Paris Cedex 08

Téléphone : 01 53 04 53 04 Télécopie : 01 42 93 59 30

BREVET D'INVENTION**CERTIFICAT D'UTILITÉ**

Code de la propriété intellectuelle - Livre VI



N° 11235*02

DÉSIGNATION D'INVENTEUR(S) Page N° 1. / 1..

(Si le demandeur n'est pas l'inventeur ou l'unique inventeur)

Cet imprimé est à remplir lisiblement à l'encre noire

DB 113 W / 260899

Vos références pour ce dossier (facultatif)		CEGETEL/19/FR	
N° D'ENREGISTREMENT NATIONAL		0304005	
TITRE DE L'INVENTION (200 caractères ou espaces maximum) Procédé de calcul et de visualisation des interférences mutuelles dans le sens descendant dans un réseau de radiotéléphonie cellulaire à accès de type W-CDMA			
LE(S) DEMANDEUR(S) : SOCIÉTÉ FRANÇAISE DU RADIOTÉLÉPHONE (SFR) Tour Séquoia 1, Place Carpeaux 92915 PARIS LA DEFENSE			
DESIGNE(NT) EN TANT QU'INVENTEUR(S) : (Indiquez en haut à droite «Page N° 1/1» S'il y a plus de trois inventeurs, utilisez un formulaire identique et numérotez chaque page en indiquant le nombre total de pages).			
Nom		FATTOUCH	
Prénoms		Imad	
Adresse	Rue	1, square du Velay	
	Code postal et ville	75013	PARIS
Société d'appartenance (facultatif)			
Nom		HUBERT	
Prénoms		Jean-Marc	
Adresse	Rue	4, résidence les Forêts	
	Code postal et ville	78380	BOUGIVAL
Société d'appartenance (facultatif)			
Nom		VINCENT	
Prénoms		François	
Adresse	Rue	212, avenue Marguerite Renaudin	
	Code postal et ville	92140	CLAMART
Société d'appartenance (facultatif)			
DATE ET SIGNATURE(S) DU (DES) DEMANDEUR(S) OU DU MANDATAIRE (Nom et qualité du signataire) Y. DEBAY Mandataire CPI (92-1066) Le 01/04/2003			

La loi n°78-17 du 6 janvier 1978 relative à l'informatique, aux fichiers et aux libertés s'applique aux réponses faites à ce formulaire. Elle garantit un droit d'accès et de rectification pour les données vous concernant auprès de l'INPI.